

大阪大学大学院 学生員 三木秀樹
 愛媛大学工学部 正員 中村孝幸
 大阪大学工学部 正員 横木亨

1. まえがき：円柱に働く波力は表面の相対による摩擦を無視すると、図1に示すように円柱表面上において法線方向に作用する波圧 $P(\theta)$ の波の進行方向成分 $F_T(\theta)$ と揚力方向成分 $F_L(\theta)$ をそれぞれ円柱のまわりに $0^\circ \leq \theta \leq 360^\circ$ について積分して得られる波力 F_{TP} , F_{TL} で表わされるため、現地での測定が比較的容易な波圧から波力を推定する波力測定法が考えられる。本研究では $P(\theta)$ と波の進行方向に働く波力と揚力を同時に測定し、それらの測定値 F_T , F_L と F_{TP} , F_{TL} を比較して、上記の波力測定法の妥当性を検討し、あわせて波動場における $P(\theta)$ のθにつけて（円柱まわりの波圧の）分布特性を調べた。

2. 実験方法：用いた測定円柱は外径 $D = 7.6\text{cm}$ の塩ビ、 $D = 2.5\text{cm}$ のアクリルパイプで、波圧・波力の測定位置は水底から各々 27.5cm , 25.2cm 、水深れは 35cm 、一定としている。波圧測定には差圧計を用い（静水時における圧力を 0 にして）動水圧と水面変動による圧力のみを 15° ずつ 24 点で測定したが、全点同時に測定できなかつたため 120° おきの 3 点ずつ 8 回に分けて測定した。 $D = 2.5\text{cm}$ の場合波圧測定用円柱を波線の方向に、円柱中心間距離を 4D 以上、円柱中心と水槽側壁間の距離を 2D 以上にして波力の干渉効果が生じないよう並べて設置したが、 $D = 7.6\text{cm}$ の場合では、水槽幅 (70cm) が十分でないため、波圧測定用円柱を波力測定用円柱から 2m 船側に設置した。実験に用いた波は、周期 $1.0 \sim 1.8$ 秒、波高 $3 \sim 6\text{cm}$ の規則波である。波圧測定値 $P(\theta) [\text{g/cm}^2]$ は圧縮方向を正としている。

3. 波の進行方向に作用する波力について：図2～5は波の進行方向について、 F_{TP} と F_T （の 8 回の平均値）と回折理論による波力 F_I の 3 つを無次元時間 t/T についてプロットしたものである。理論値 F_I は波を諒和解析し、各成分波に対する値を線形重ね合わせを行って求めた。 F_{TP} と F_T とは、大きさは、 $D = 7.6\text{cm}$, 2.5cm とともにオーダー的に一致するが、 $D = 2.5\text{cm}$ の方がよく一致する。またその時間形状は一致していない。次に、 F_T と F_I を比較すると、慣性力の卓越する場合である $D = 7.6\text{cm}$ では、 F_T と F_I は（特に図2）大きさ、時間形状とも大体一致しているが、 $D = 2.5\text{cm}$ の場合（K-C 数が大きく）抗力の影響が大きいため、 F_T と F_I は一致しない。この場合には、慣性力が卓越してみるとほいがたく、 F_T と F_I の差は抗力と考えられる。図2と図4には、円柱前面 ($-180^\circ \leq \theta \leq 180^\circ$) で $P_r(\theta)$ を積分したもの、前面の動水圧と $Sg(h+z)$ の差の（サンフルーティ式の）波力 F_S も示している。 F_T と F_S の

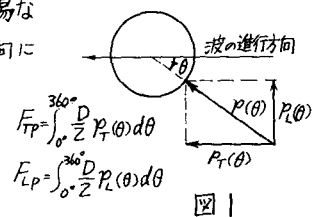
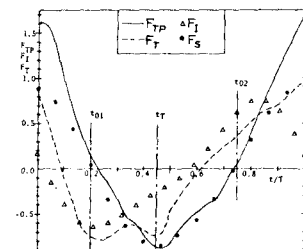
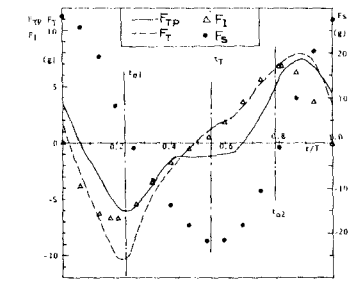
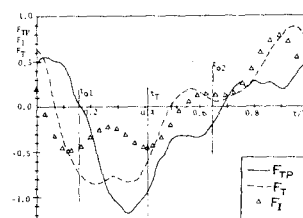
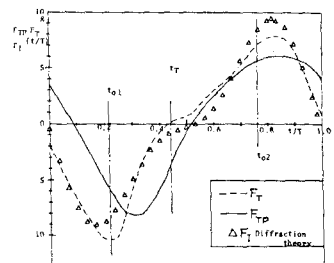


図1

図2 $D = 2.5\text{cm}$ $T = 1.5$ 秒
 $H = 6.2 \sim 6.6$ $K-C = 9.4 \sim 10$ 図4 $D = 7.6\text{cm}$ $T = 1.5$ 秒
 $H = 6.0 \sim 6.4\text{cm}$ $K-C = 3.1 \sim 3.3$ 図3 $D = 2.5\text{cm}$ $T = 1.82$ 秒
 $H = 6.2 \sim 6.4$ $K-C = 11.6 \sim 11.9$ 図5 $D = 7.6\text{cm}$ $T = 1.2$ 秒
 $H = 6.2 \sim 6.4\text{cm}$ $K-C = 2.5 \sim 2.6$

形状は一致しないが、それらの最大値は $D=2.5\text{cm}$ の $F_S \approx 10F_T$ であるのに対し、 $D=7.6\text{cm}$ の $F_S \approx 2F_T$ と徐々に減少していく）、壁体構造物の波圧に近づいていく。

4. 握力について： 図6は、握力の測定値 F_L と $P(\theta)$ による F_{Tp} を t/T についてプロットしたものの一例である。 F_L は不規則な変動を有しており、図中の F_L は8ケースのうちの2ケースを示しているが、8ケースとも異なる値であった。 F_L と F_{Tp} は、形状、大きさとも全く異なっており、今回の測定法では握力は、波圧から推定できなかった。

5. 円柱周りの波圧分布について： 図7、8は、波の峰時 t_c 、波峰から波谷の間の静水位時 t_{01} 、波の谷時 t_T 、波谷から波峰の間の静水位時 t_{02} の各時間における、円柱周囲の波圧の測定値 $P(\theta)$ とその理論値の分布を示している。理論値は、 F_I と同じく波の各成分波について、回折理論と複素ポテンシャル理論によつてそれぞれ求めた値をそれぞれについて重ね合わせたものの、 t_c, t_{01}, t_{02}, t_T における値で、回折理論による波圧の波進行方向成分を $0^\circ \leq \theta \leq 360^\circ$ で積分したものが F_I となる。図7においては、 t_{02} では、 $P(\theta)$ は回折理論とほぼ一致しており、図5の t_{02} で F_{Tp} と F_I が、大体一致していることと対応している。この時のポテンシャル理論による握力は 0° で F_{Tp} と一致せず、波圧分布も測定値と一致しない。図7 t_c では、 270° の理論値は互いに一致し、測定値とほぼ一致している。

図7の t_c における F_{Tp} と F_I と一致しているが、図7 t_{01} と t_{02} では、両理論値と一致せず、図5の t_c, t_{01} での F_{Tp} と F_I とはかなりの差があり、ポテンシャル理論による握力は 0° で F_{Tp} と一致しない。図8では、 t_{02} における波圧の測定値 $P(\theta)$ と両理論値は大体一致しており、図3の t_{02} における F_{Tp} と F_I が一致するのにに対し、ポテンシャル理論による値と F_I と一致している。図8 t_c, t_{01} では、両理論値と $P(\theta)$ が一致せず、図3の t_c, t_{01} での F_{Tp} と F_I にはかなりの差がある。図8 t_T では、 $P(\theta)$ はポテンシャル理論による値と大体一致し、回折理論と絶対値は $P(\theta)$ の方が大きいか、θについての形状は一致し、図3の t_T における F_{Tp} と F_I を大体一致する。以上、図7、8とも、 t_{02} における $P(\theta)$ は、両理論値とほぼ一致している。他のケースの $P(\theta)$ と両理論値とを考えあわせると、大口径の方が回折理論による値と比較的一致するようであり、したがって大口径円柱においては、従来行なわれている回折理論によつて算出された握力公式がよく一致するとの見られる。

註) 図2～図5

t_c は $t/T=0.1$ に相当している。
 T は波の周期
 H は波の波高
 $K-C$ は $m.m.8$ 値
 \circ 局部 $K-C$ 数値
 ある。

図7図8の記号
 $P(\theta)$
 △ t_c の波浪測定値
 ● t_{01} “
 ◇ t_{02} “
 ▽ t_T “
 —— 回折理論
 - - - 複素ポテンシャル理論

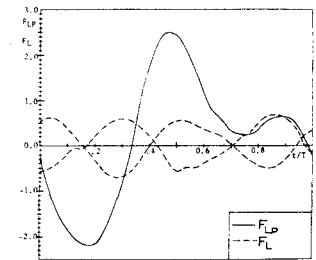


図6 $D=2.5 T=1.2 H=5.7 \sim 6.0$
 $K-C=6.7 \sim 7.1$

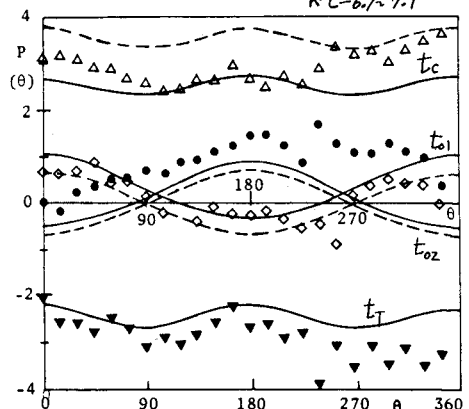


図7 $D=7.6 T=1.2 H=6.2 \sim 6.4$

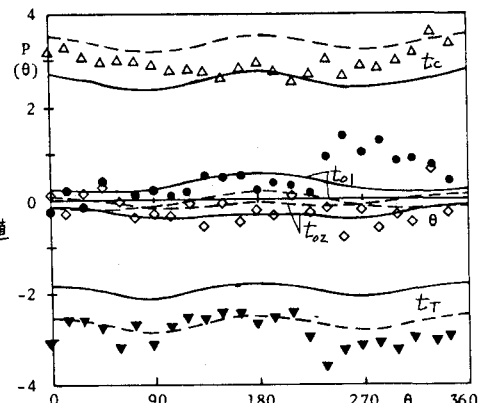


図8 $D=2.5 T=1.82 H=6.2 \sim 6.4$